

Влияние кислородной плазмы на свойства пленок оксида тантала

© В.М. Калыгина[¶], А.Н. Зарубин, В.А. Новиков, Ю.С. Петрова, М.С. Скакунов,
О.П. Толбанов, А.В. Тяжев, Т.М. Яскевич

Сибирский физико-технический институт им. В.Д. Кузнецова при Томском государственном университете,
634050 Томск, Россия

(Получена 30 декабря 2009 г. Принята к печати 18 января 2010 г.)

Исследовано влияние кислородной плазмы на токи утечки, величину диэлектрической проницаемости и тангенса угла диэлектрических потерь тонких слоев ($300\text{--}400\text{ нм}$) Ta_2O_5 . Предложено использовать обработку пленок оксида тантала в кислородной плазме для управления их электрическими и диэлектрическими характеристиками.

1. Введение

Тонкие диэлектрические пленки нашли широкое применение в различных областях микроэлектроники. Электрические характеристики диэлектрических слоев в значительной степени определяются технологией получения и последующей обработкой, включая термический отжиг, воздействие излучением с различной длиной волны, выдержкой в атмосферах с соответствующими составами газовых смесей и т.д. [1–5].

В данной работе обсуждаются результаты исследований тонких слоев оксида тантала на подложках из арсенида галлия в связи с предполагаемым использованием пленок Ta_2O_5 в твердотельных преобразователях изображения (ТПИ) на основе $\text{GaAs}:\text{Cr}$. В эксперименте использовали структуры двух типов: пленки оксида тантала, полученные высокочастотным (ВЧ) магнетронным распылением мишени аналогичного состава, и пленки, полученные реактивным ВЧ магнетронным распылением мишени из Та в аргон-кислородной газовой смеси. Оценка качества напыленных пленок проводилась путем измерения электрических характеристик конденсаторных структур металл–диэлектрик–металл (МДМ).

2. Методика эксперимента

В структурах первого типа пленки оксида тантала получали на установке AUTO 500 в аргон-кислородной плазме (75% Ar + 25% O) путем распыления мишени Ta_2O_5 . В качестве подложек использовали либо пластины из слитка GaAs, либо эпитаксиальные слои, выращенные газофазной эпитаксией. Подложки подвергали стандартной очистке и затем электронно-лучевым испарением наносили слой алюминия или слой никеля с подслоем Cr или V. Верхний электрод (Cr/Ni или V/Ni) формировали электронно-лучевым напылением через маски с диаметром окон 1150 мкм . Толщина пленок варьировалась в пределах $350\text{--}400\text{ нм}$.

Образцы второго типа получали на эпитаксиальных слоях GaAs, выращенных на подложках *n*-типа проводимости с концентрацией донорной примеси $1 \cdot 10^{18}\text{ см}^{-3}$. В качестве нижнего электрода к пленке оксида тантала

использовали пленку Та. Пленку оксида тантала получали ВЧ магнетронным распылением Та-мишени в аргон-кислородной газовой смеси. Верхний электрод (пленка золота с подслоем ванадия) формировали в виде квадратов со стороной 450 мкм с помощью фотолитографии.

Подложки GaAs с напыленным нижним электродом и пленкой Ta_xO_y разрезали на четыре части. Одну часть оставляли без обработки, а три остальные подвергали воздействию кислородной плазмы в течение 10, 20 и 30 мин при каждой из температур 20 , 50 или 70°C на установке Plasmalab 80 plus.

Статические вольт-амперные характеристики (ВАХ) измеряли на автоматизированном комплексе, предназначенному для исследования ВАХ на постоянном токе. Измерения частотных зависимостей тангенса угла диэлектрических потерь ($\text{tg } \delta$) и относительной диэлектрической проницаемости (ϵ) проводили с использованием измерителя имmittанса E7-20 и специально разработанной программы, позволяющей осуществлять автоматизированные измерения указанных параметров. Для морфологического исследования поверхности полученных пленок до и после воздействия кислородной плазмы использовали атомно-силовой микроскоп (АСМ) марки „Ntegra Prima“ фирмы NT-MDT.

3. Результаты эксперимента

3.1. МДМ структуры первого типа: $\text{GaAs} - \text{Al(V/Ni)} - \text{Ta}_x\text{O}_y - \text{V/Ni(Cr/Ni)}$

На рис. 1 приведено изображение границы раздела $\text{Al} - \text{Ta}_x\text{O}_y$ без обработки в кислородной плазме. Видно, что пленка Al имеет неоднородную зернистую поверхность. Эти же неровности проявляются в пленке Ta_xO_y , повышая тем самым ее шероховатость. Вполне возможно, что неоднородности пленки Al являются затравками для роста несовершенств слоя оксида тантала.

После напыления на поверхности поликристаллической пленки Ta_xO_y преобладают кристаллиты с размерами $100\text{--}200\text{ нм}$ (рис. 2, *a*), которые на отдельных участках пленки образуют крупные блоки с размерами до $2000\text{--}5000\text{ нм}$. Средняя высота шероховатостей не превосходит $1000\text{--}1200\text{ нм}$. После обработки в плазме

[¶] E-mail: kalygina@ngs.ru

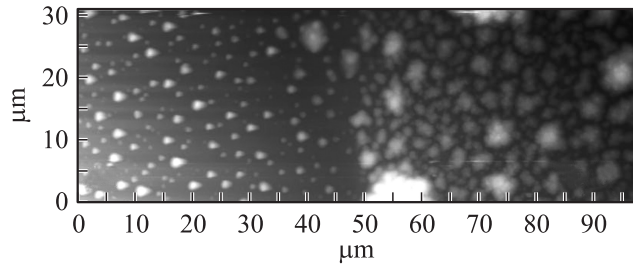


Рис. 1. Изображение поверхности пленки Al (слева) и пленки Ta_xO_y , напыленной на Al-пленку, (справа) без обработки в плазме кислорода.

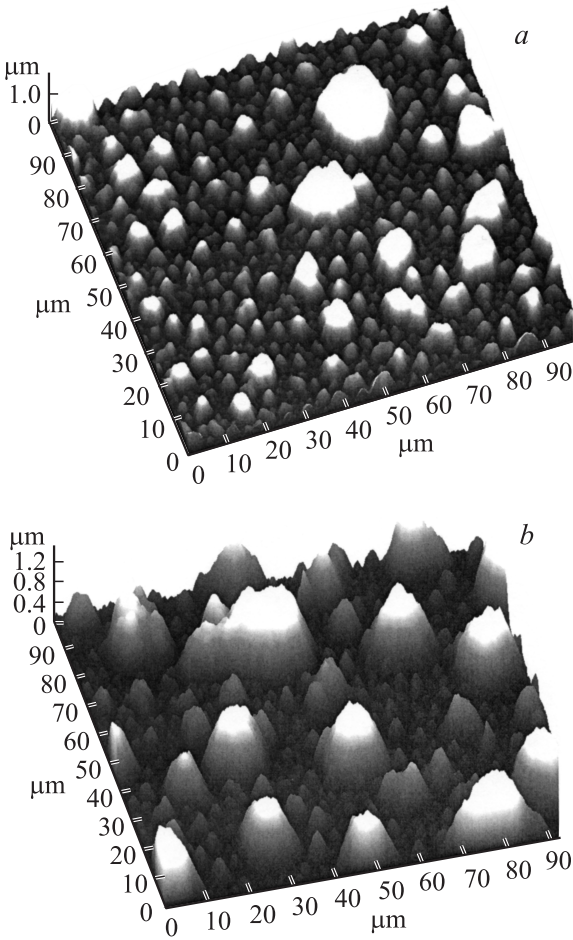


Рис. 2. Трехмерные изображения поверхности пленки Ta_xO_y до (a) и после (b) обработки в плазме кислорода (30 мин, 20°C).

кислорода при температуре 20°C происходит укрупнение неоднодностей и увеличение их площади (рис. 2, b). Большинство кристаллитов имеют размеры 5000 нм и выше, при этом средняя высота неоднородностей практически не изменяется.

Статические вольт-амперные характеристики не зависят от полярности напряжения U . В слабых электрических полях зависимость тока I от напряжения определяется законом Ома. С увеличением U ток растет с

напряжением по экспоненциальному закону ($\ln I \propto U^{1/2}$) (рис. 3, кривая 1). Предполагается, что ВАХ определяются объемными свойствами пленки оксида тантала (вероятно, эффектом Пула–Френкеля), а не контактными явлениями на границах $Al-Ta_xO_y$ и $Cr/Ni-Ta_xO_y$.

Кривые 2–5 на рис. 3 соответствуют вольт-амперным характеристикам структур $Al-Ta_xO_y-Cr/Ni$ после воздействия кислородной плазмы в течение 20 мин при 20°C (кривая 2) и в течение 10, 20 и 30 мин при температуре 50°C (кривые 3–5). Из представленных данных следует, что обработка в плазме кислорода приводит к снижению токов более чем на 3 порядка. При этом максимальное изменение тока наблюдается при воздействии плазмы в течение 20 мин при температуре 50°C (рис. 3, кривая 4).

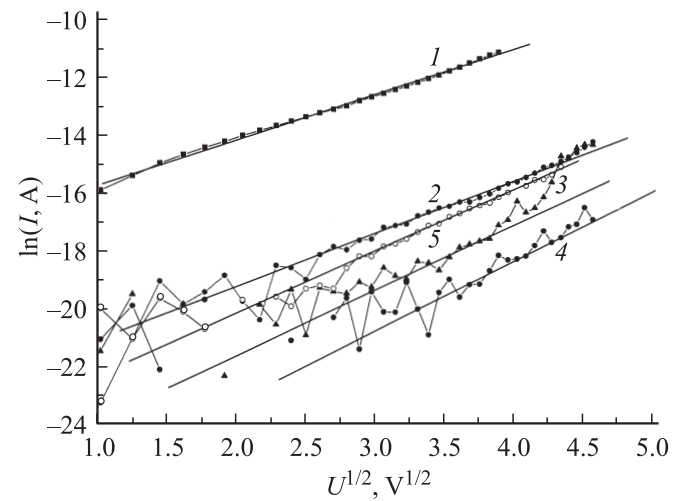


Рис. 3. Статические вольт-амперные характеристики структур $Al-Ta_xO_y-Cr/Ni$ без обработки (1) и после обработки в кислородной плазме в разных режимах: 2 — 20 мин, 20°C; 3 — 10 мин, 50°C; 4 — 20 мин, 50°C; 5 — 30 мин, 50°C.

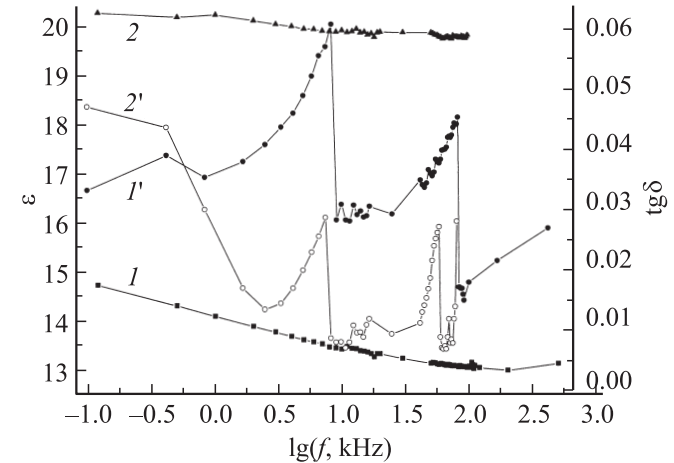


Рис. 4. Частотные зависимости ϵ (1, 2) и $\operatorname{tg} \delta$ (1', 2') для пленки Ta_xO_y на подложке GaAs без обработки (1, 1') и после обработки в плазме кислорода при 50°C в течение 20 мин (2, 2').

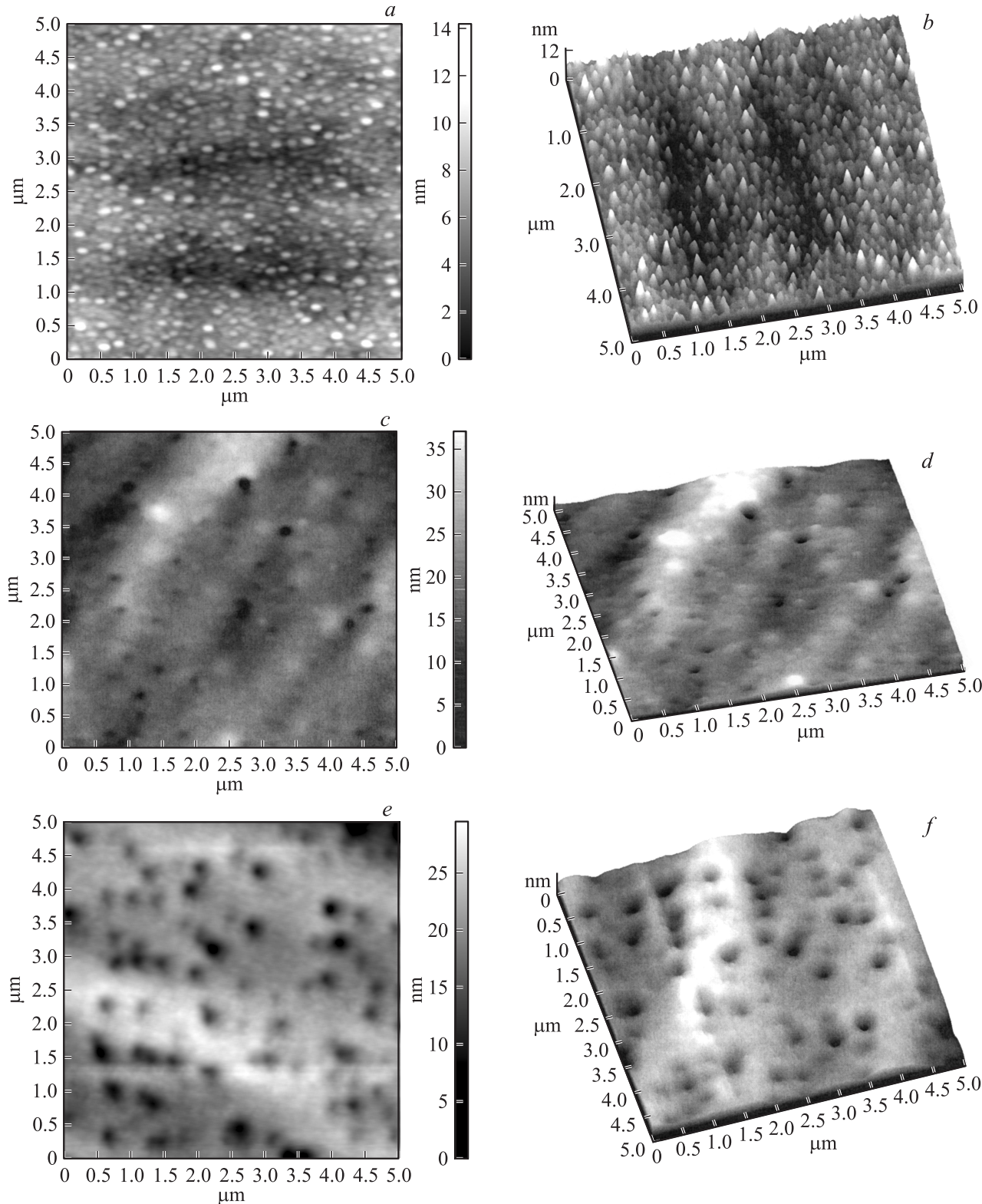


Рис. 5. Двумерные (*a, c, e*) и трехмерные (*b, d, f*) изображения поверхности пленки Ta_xO_y с нижним электродом V/Ni на подложке с эпитаксиальным GaAs до обработки (*a, b*) и после обработки в кислородной плазме при 50°C в течение 20 (*c, d*) и 30 мин (*e, f*).

Напряженность электрического поля, соответствующая пробою, после обработки в плазме повышается до $1 \cdot 10^6 \text{ В/см}$. Таким образом, эффект влияния плазмы

на токи в пленках оксида тантала зависит от температуры подложки и длительности обработки. Если образцы во время воздействия кислородной плазмы находятся

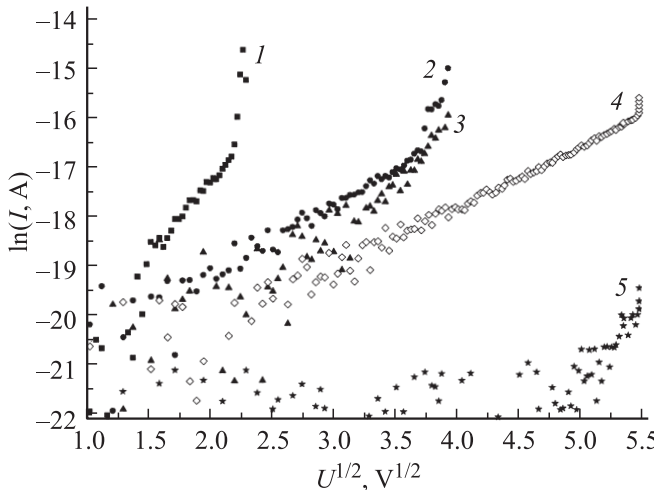


Рис. 6. Статические вольт-амперные характеристики структур GaAs–V/Ni–Ta_xO_y–V/Ni в координатах Пула–Френкеля без обработки (1) и после обработки в кислородной плазме при 50°C в течение 10 (2), 20 (3), 30 мин (4, 5). 4, 5 — разные образцы на одной подложке.

при комнатной температуре, то токи снижаются, но значительно меньше, чем при нагреве. Однако повышение температуры подложки до 70°C во время обработки структур в кислородной плазме не приводит к заметному изменению результатов, полученных при 50°C.

При повышении частоты f в интервале $1 \cdot 10^2$ – $1 \cdot 10^6$ Гц относительная диэлектрическая проницаемость ε снижается с 15 до 13 (рис. 4, кривая 1). После обработки в кислородной плазме ε возрастает (рис. 4, кривая 2) и становится равной 22–23, что близко к литературным данным [6].

На кривой зависимости $\operatorname{tg} \delta$ от f имеются два максимума (рис. 4, кривая 1'). Амплитуды обоих максимумов снижаются примерно в 2 раза в результате воздействия на пленки Ta_xO_y кислородной плазмы (рис. 4, кривая 2').

Большая шероховатость пленок Ta_xO_y на арсенид-галлиевых подложках с нижним Al-электродом, по-видимому, обусловлена рельефом металлической пленки, который показан в левой части рис. 1. Этот вывод совпадает с данными работы [5], в которой исследовали пленки оксида тантала на кремниевых подложках с нижним Ti-электродом.

Для проверки высказанного предположения проведены эксперименты с пленками Ta_xO_y, полученными на слоях эпитаксиального арсенида галлия с нижним и верхним электродами V/Ni. Подготовка подложек перед напылением нижнего электрода проводилась по той же технологии, что и для пластин GaAs без эпитаксиального роста. Как следует из данных рис. 5, a, b, высота шероховатостей диэлектрической пленки не превышает 12 нм, что на порядок меньше по сравнению с пленкой оксида тантала на подложке GaAs/Al. Обработка в кислородной плазме при 50°C в течение 20 (рис. 5, c, d) и 30 мин (рис. 5, e, f) показала существенно большее

выравнивание поверхности пленок Ta_xO_y, напыленных на подложки с эпитаксиальным GaAs.

Статические ВАХ структур GaAs–V/Ni–Ta_xO_y–V/Ni до и после обработки в кислородной плазме показаны на рис. 6. Воздействие кислородной плазмой повышает напряжение пробоя и приводит к снижению токов на несколько порядков. Наиболее заметное уменьшение токов наблюдается в области сильных электрических полей.

Относительная диэлектрическая проницаемость, равная ~ 16.5 для пленок без обработки (рис. 7, a, кривая 1), снижается до 14.3 после обработки в кислородной плазме в течение 10 мин при 50°C (рис. 7, a, кривая 2) и увеличивается до 15 в результате воздействия кислородной плазмы в течение 20 и 30 мин (рис. 7, a, кривые 3 и 4). Следует отметить слабую частотную зависимость ε для конденсаторных структур первого

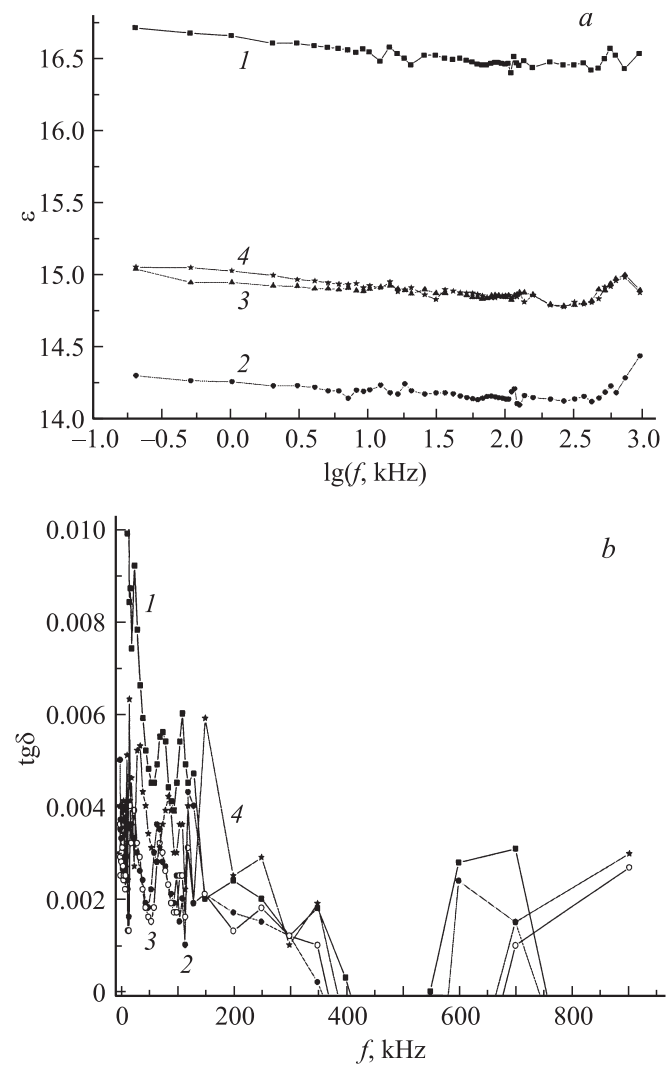


Рис. 7. Частотные зависимости ε (a) и $\operatorname{tg} \delta$ (b) структур GaAs–V/Ni–Ta_xO_y–V/Ni без обработки (1) и после обработки в кислородной плазме при 50°C в течение 10 (2), 20 (3), 30 мин (4).

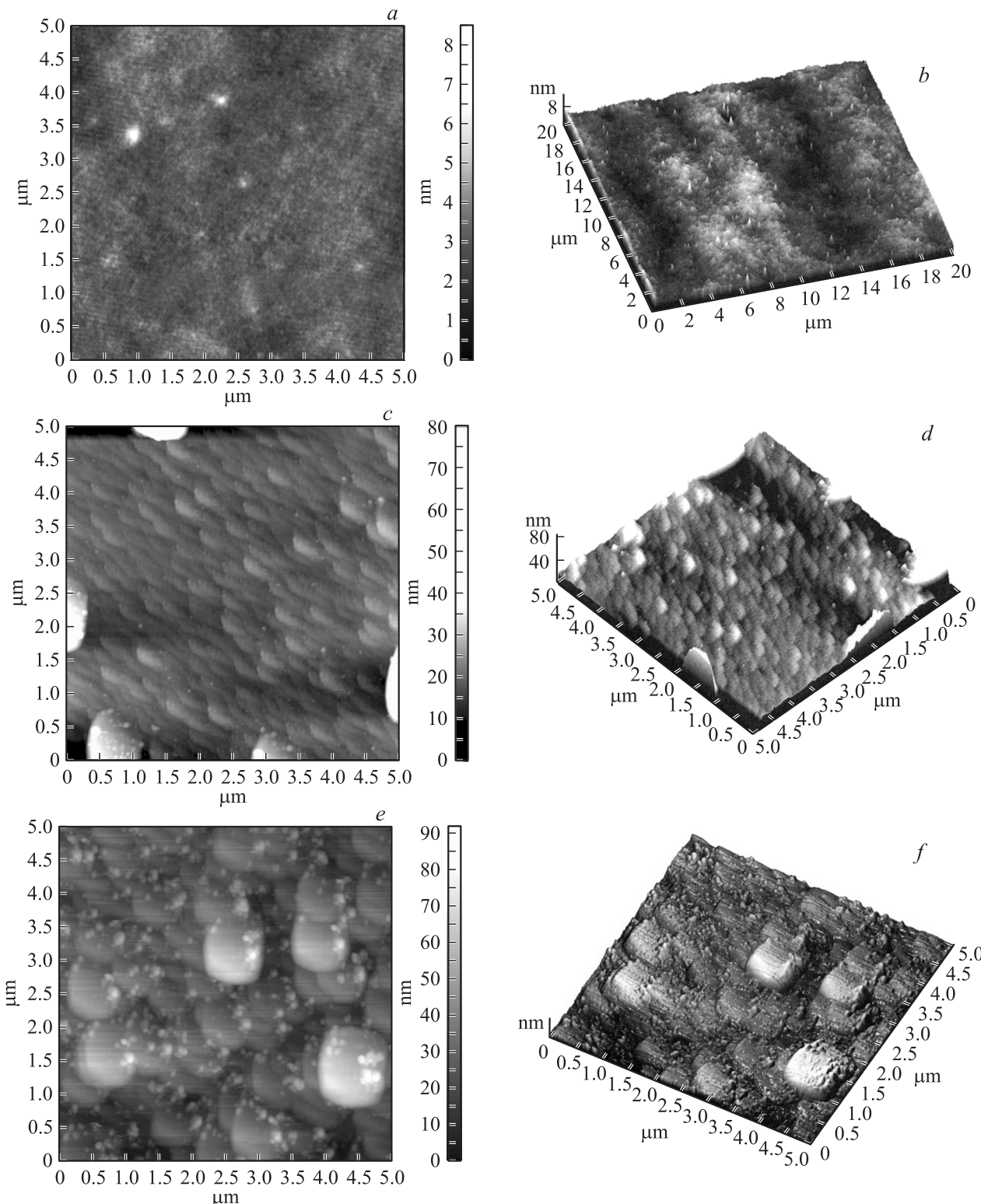


Рис. 8. Двумерные (a, c, e) и трехмерные (b, d, f) изображения поверхности пленки Ta_xO_y с нижним Та-электродом на подложке с epitаксиальным GaAs до обработки (a, b) и после обработки в кислородной плазме при 50°C в течение 10 (c, d) и 20 мин (e, f).

типа (пленка оксида тантала получена распылением мишени аналогичного состава) как без обработки, так и после воздействия на пленку Ta_xO_y кислородной плазмы при любой из указанных температур.

Тангенс угла диэлектрических потерь для пленок оксида тантала в структурах $\text{GaAs}-\text{V}/\text{Ni}-\text{Ta}_x\text{O}_y-\text{V}/\text{Ni}$ даже для слоев оксида тантала, не подвергнутых обработке, практически во всем диапазоне частот

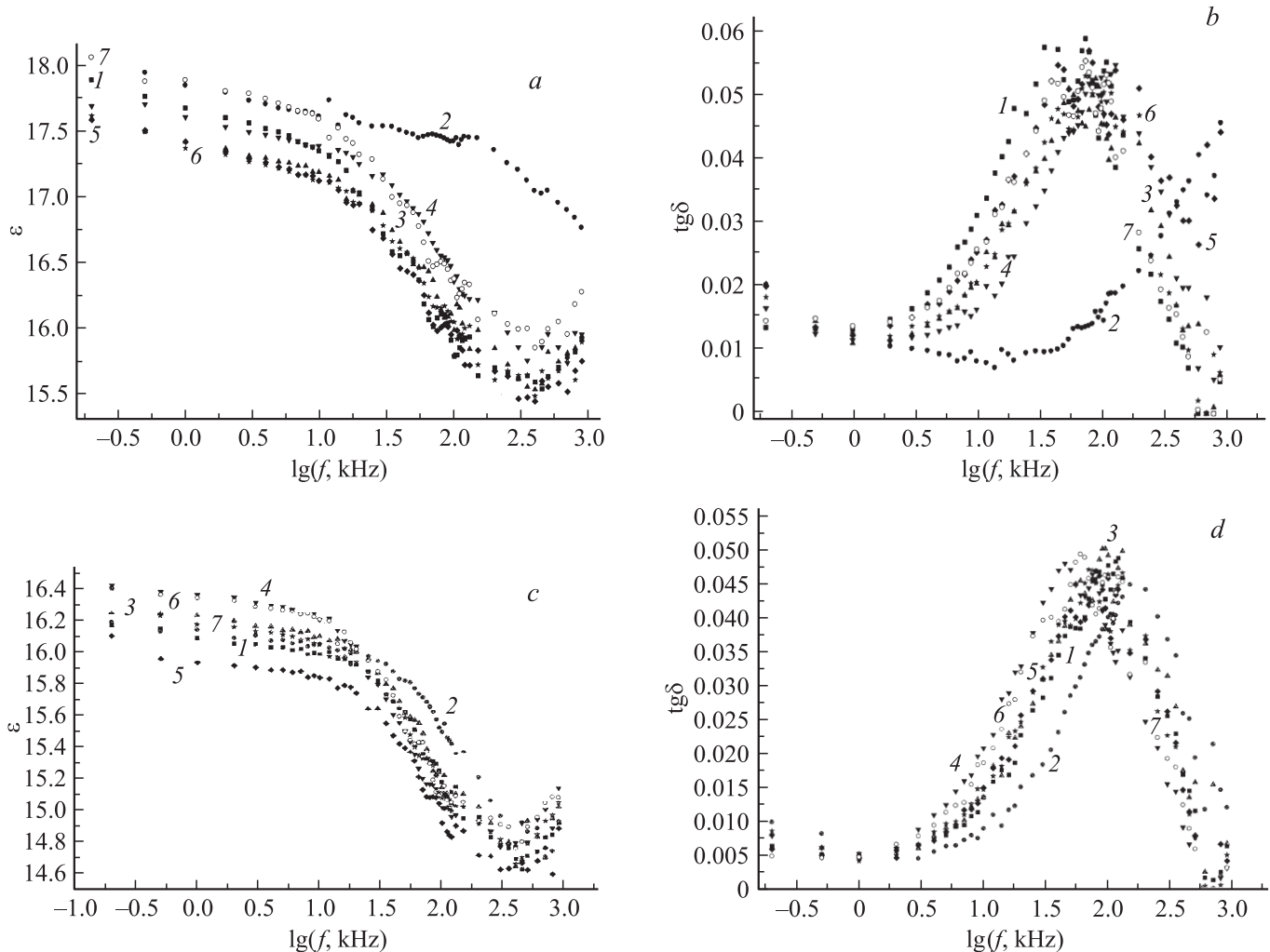


Рис. 9. Частотные зависимости ϵ (а, с) и $\operatorname{tg}\delta$ (б, д) для 7МДМ структур второго типа на одной подложке (1–7), без обработки (а, б) и после обработки в кислородной плазме при 50°C в течение 20 мин (с, д).

$f = 1\text{--}1000$ кГц оказывается меньше 0.01 (рис. 7, б, кривая 1) и снижается примерно в 3–4 раза после обработки в кислородной плазме (рис. 7, б, кривые 2–4). Наибольшее снижение потерь имеет место на низких частотах.

3.2. МДМ структуры второго типа: $\text{GaAs}-\text{Ta}-\text{Ta}_x\text{O}_y-\text{V/Au}$

На рис. 8 показаны АСМ-изображения пленок Ta_xO_y с нижним Та-электродом, полученных реактивным методом на эпитаксиальных слоях арсенида галлия. После воздействия кислородной плазмы происходит укрупнение размеров кристаллитов до 250–300 нм (ср. рис. 8, а и с) и выстраивание их с образованием некоторой структуры (рис. 8, с). При этом отчетливо прослеживается сглаживание отдельных микровыступов (рис. 8, б и д). Острые пики на поверхности пленки (рис. 8, б) исчезают после обработки в плазме в течение 10 мин. При увеличении времени обработки до 20 мин размер

кристаллитов в плоскости, параллельной подложке, превышает 500 нм, а их высота практически не изменяется. Таким образом, обработка пленок оксида тантала в кислородной плазме существенно меняет их структуру.

Напряжение пробоя конденсаторных структур $\text{Ta}-\text{Ta}_x\text{O}_y-\text{Au}$ после воздействия кислородной плазмой возрастает с 90 до 140–150 В при толщине пленок оксида тантала 0.4 мкм.

Частотные зависимости относительной диэлектрической проницаемости и тангенса угла диэлектрических потерь до и после обработки пленок Ta_xO_y в кислородной плазме при 50°C в течение 20 мин показаны на рис. 9. После воздействия кислородной плазмой ϵ снижается с 17.5–18.0 (рис. 9, а) примерно до 16.0–16.4 (рис. 9, с), что аналогично поведению структур первого типа при использовании эпитаксиальных слоев GaAs. Однако в отличие от пленок, полученных распылением мишени Ta_2O_5 , конденсаторные структуры с пленкой оксида тантала, напыленной из Та-мишени, имеют более сильную зависимость относительной диэлектрической

проницаемости от частоты как без обработки, так и после воздействия кислородной плазмы.

На частотной зависимости $\operatorname{tg} \delta$ имеется широкий пик при $f \approx 100$ кГц (рис. 9, b). После обработки в кислородной плазме его положение на оси частот практически не изменяется, максимальное значение снижается с 0.05–0.06 до 0.04–0.05 и уменьшается ширина на полувысоте пика (рис. 9, d).

4. Обсуждение результатов эксперимента

Независимо от типа структур большие токи в пленках оксида tantalа без обработки в кислородной плазме объясняются высокой концентрацией кислородных вакансий, играющих роль донорной примеси в оксидных соединениях. В результате воздействия кислородной плазмы вакансии кислорода „затечиваются“, их концентрация снижается и токи уменьшаются [3,4].

Второй причиной снижения токов после обработки пленок Ta_xO_y в кислородной плазме может быть слаживание микровыступов, которые являются концентраторами напряженности электрического поля. В этих местах развиваются микроплазмы, обусловливающие резкое нарастание тока, что приводит к локальному пробою тонкопленочных конденсаторов.

Известно, что электронно-релаксационная поляризация играет существенную роль на низких частотах в оксидных полупроводниках, стеклах, керамиках, ситалах и т.д. [7–9]. Поэтому частотные зависимости ϵ и $\operatorname{tg} \delta$ в интервале $f = 1\text{--}1000$ кГц можно объяснить релаксационными процессами ионной и электронной поляризации. Кислородные вакансии в оксидных материалах являются донорными центрами. Для их компенсации в соответствии с принципом электронейтральности вблизи положительно заряженных доноров локализуются квазиводородные электроны, которые обусловливают тепловую электронную поляризацию.

Заметный вклад в релаксационные потери может давать межслойная поляризация [7,8], обусловленная накоплением зарядов на поверхностях неоднородностей в пленках оксида tantalа. После обработки в кислородной плазме происходит уменьшение концентрации вакансий кислорода, что вызывает снижение сквозного тока. Кроме того, в результате воздействия кислородной плазмы наблюдается сращивание мелких неоднородностей в более крупные, эффективная площадь поверхности уменьшается, что приводит к снижению потерь.

Более сильная частотная дисперсия тонких слоев Ta_xO_y , полученных реактивным распылением tantalовой мишени, объясняется структурными особенностями пленок. Обработка таких слоев в кислородной плазме, хотя и приводит к снижению сквозного тока и небольшому снижению диэлектрических потерь, но не вызывает существенного изменения структурных особенностей, которые определяют релаксационные процессы и связанные с ними частотные зависимости диэлектрической проницаемости и $\operatorname{tg} \delta$.

5. Заключение

В результате проведенных исследований установлены режимы нанесения пленок оксида tantalа методом ВЧ магнетронного распыления на GaAs-подложки, позволяющие получать пленки со свойствами, соответствующими техническим требованиям. Анализ полученных результатов позволяет сделать следующие выводы:

- токи утечки тонких слоев Ta_xO_y определяются объемными свойствами напыленных пленок и, скорее всего, обусловлены эффектом Пула–Френкеля;

- частотные зависимости диэлектрической проницаемости и тангенса угла диэлектрических потерь пленок оксида tantalа зависят от способа их получения; меньшая частотная дисперсия ϵ и более низкие потери получены для слоев Ta_xO_y , напыленных при использовании мишени аналогичного состава;

- установлено влияние кислородной плазмы на электрические характеристики пленок оксида tantalа; эффект влияния плазмы на характеристики тонких слоев Ta_2O_5 зависит от температуры подложки и длительности обработки.

Предлагается использовать обработку пленок оксида tantalа в кислородной плазме для управления их электрическими и диэлектрическими характеристиками.

Список литературы

- [1] S. Oshio, M. Yamamoto, J. Kuwata, T. Matsuoka. *J. Appl. Phys.*, **71**, 3471 (1991).
- [2] Т.В. Петлицкая. Докл. БГУИР, **1**(1), 70 (2003).
- [3] C.-S. Chang, T.-P. Liu, T.-B. Wu. *J. Appl. Phys.*, **88**, 7242 (2000).
- [4] H. Kozawaguchi, B. Tsujiyama, K. Murase. *Jpn. J. Appl. Phys.*, **21**, 1028 (1982).
- [5] Tsai Kou-Chiang, Wu Wen-Fa, Chao Chuen-Guang, Wu Chi-Chang. *J. Electrochem. Soc.*, **154**, H512 (2007).
- [6] S. Oshio, M. Yamamoto, J. Kuwata, T. Matsuoka. *J. Appl. Phys.*, **71**, 3471 (1991).
- [7] М.Д. Машкович. *Электрические свойства неорганических диэлектриков в диапазоне СВЧ* (М., Сов. радио, 1969).
- [8] П.Т. Орешкин. *Физика полупроводников и диэлектриков* (М., Высш. шк., 1977).
- [9] В.В. Пасынков, В.С. Сорокин. *Материалы электронной техники* (СПб., Лань, 2001).

Редактор Л.В. Шаронова

Oxygen plasma effect on the tantalum oxide film properties

V.M. Kalygina, A.N. Zarubin, V.A. Novikov, Y.S. Petrova,
M.S. Skakunov, O.P. Tolbanov, A.V. Tyazhev,
T.M. Yaskevich

V.D. Kuznetsov Siberian Physical–Technical Institute
at Tomsk State University,
634050 Tomsk, Russia

Abstract The oxygen plasma effect on the leakage current, the relative dielectric permittivity and the dielectric dissipation factor of Ta₂O₅ thin films (300–400 nm) was investigated. It was offered to control electrical and dielectric properties of tantalum oxide films by means of treatment in oxygen plasma.